

## S ance 1

## S ANCE 1 / BASES ET AMPLIFICATEUR LIN AIRE

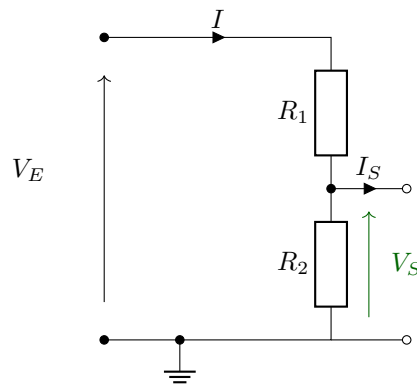
Pour ce TD, on pourra s'appuyer sur les fiches r sum es : [Fondamentaux](#) et [Ampli Lin aire Int gr ](#).

### Mission 1.1 - Abaisser une tension

Proposez un circuit permettant d'abaisser une tension d'un facteur  $k$ .

$$0 < k < 1$$

Pour r duire une tension, il est possible d'utiliser un **pont diviseur de tension**, bas  sur l'utilisation de 2 r sistances en s rie comme propos  dans le sch ma suivant.



Pour le calcul, on peut s'int resser au courant  $I$  en  crivant deux lois des mailles diff rentes :

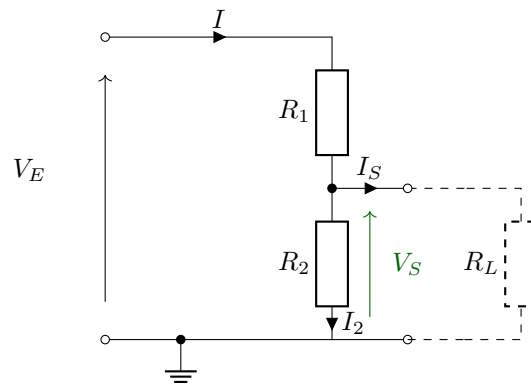
1.  $V_E - R_1 \cdot I - R_2 \cdot I = 0$
2.  $V_S - R_2 \cdot I = 0$

Cela suppose que l'on consid re que le courant  $I_S = 0$ .

En combinant les deux, on obtient la relation entre  $V_E$  et  $V_S$  suivante :

$$V_S = V_E \cdot \frac{R_2}{R_1 + R_2}$$

Si on suppose maintenant que le circuit précédent est chargé par une résistance  $R_L$ , on obtient alors le montage suivant :



Dans ce cas, le courant  $I_S$  n'est plus nul.

Le courant  $I$  traversant  $R_1$  va alors se partager entre  $R_2$  et  $R_L$ . On aura alors la seconde loi des mailles écrites précédemment qui ne sera plus valide.

On peut alors écrire les relations suivantes :

1. loi des mailles :  $V_E - R_1 \cdot I + V_S$
2. loi des mailles :  $V_S - R_L \cdot I_S = 0$
3. loi des noeuds :  $I = I_S + I_2$
4. loi des mailles :  $V_S - R_2 \cdot I_2 = 0$

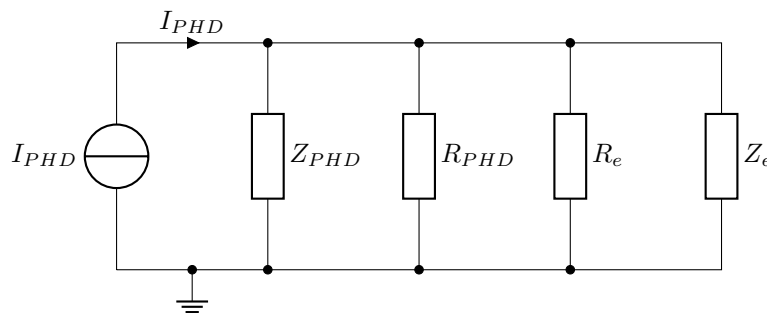
Après regroupement et simplification, on obtient la relation suivante :

$$V_S = V_E \cdot \frac{R_{eq}}{R_1 + R_{eq}}$$

avec  $R_{eq} = \frac{R_2 \cdot R_L}{R_2 + R_L}$  (mise en parallèle de  $R_2$  et  $R_L$ ).

### Mission 1.2 - Courants et tensions

Soit le circuit suivant :



1. Donnez l'expression de  $V_S$  en fonction de  $I_{PHD}$ .
2. Que devient cette expression si  $R_e \rightarrow +\infty$ ,  $Z_e \rightarrow +\infty$  et  $Z_{PHD} \rightarrow +\infty$  ?

On se place à présent en régime harmonique.

$Z_{PHD}$  est une capacité  $C_{PHD}$  et  $Z_e$  est une capacité  $C_e$ .

3. Que devient l'expression de  $V_S$  en fonction de  $I_{PHD}$  ?
4. A quoi peuvent correspondre l'ensemble des éléments du montage ?

**Question 1**

Les 5 branches sont en parallèle et sont soumises à la même différence de potentiel  $V_S$ .

Le courant  $I_{PHD}$  se distribue dans les 4 autres branches :  $I_{PHD} = \frac{V_S}{Z_{PHD}} + \frac{V_S}{R_{PHD}} + \frac{V_S}{Z_e} + \frac{V_S}{R_e}$

Ainsi :

$$V_S = \frac{I_{PHD}}{\frac{1}{Z_{PHD}} + \frac{1}{R_{PHD}} + \frac{1}{Z_e} + \frac{1}{R_e}}$$

**Question 2**

L'expression précédente devient :  $V_S = R_{PHD} \cdot I_{PHD}$

**Question 3**

$Z_{PHD} = \frac{1}{j \cdot C_{PHD} \cdot \omega}$  et  $Z_e = \frac{1}{j \cdot C_e \cdot \omega}$

L'expression de la question 1 devient alors :

$$\frac{V_S}{I_{PHD}} = \frac{1}{\frac{1}{R_{PHD}} + j \cdot C_{PHD} \cdot \omega + \frac{1}{R_e} + j \cdot C_e \cdot \omega}$$

On pose :  $R_k = \frac{R_e \cdot R_{PHD}}{R_e + R_{PHD}}$  et  $C_k = C_{PHD} + C_e$

Après simplification :

$$\frac{V_S}{I_{PHD}} = R_k \cdot \frac{1}{1 + j \cdot R_k \cdot C_k \cdot \omega}$$

**Question 4**

Une **photodiode** peut être modélisée par une source de courant, dépendant du flux lumineux qu'elle reçoit, et d'une capacité parasite  $C_{PHD}$ .

De l'autre côté, il est possible de modéliser un oscilloscope, permettant de visualiser le signal électrique, par une résistance d'entrée  $R_e$  et le câble coaxial, qui permet d'amener le signal jusqu'à l'entrée de l'oscilloscope, par un condensateur de capacité  $C_e$ .

Enfin, la résistance  $R_{PHD}$  permet de transformer le courant résultant de la photodiode en une tension plus facilement visualisable à l'aide d'un oscilloscope.

**Mission 1.3 - Amplificateur linéaire intégré**

On fournit en annexe une partie de la documentation technique de l'amplificateur linéaire intégré (ALI) **TL081**.

1. Cherchez dans la documentation les valeurs des paramètres électriques suivants :
  - (a) Tension d'alimentation (Supply Voltage)
  - (b) Tension d'entrée différentielle maximale
  - (c) Amplification différentielle
  - (d) Gain unitaire ou produit gain-bande-passante
  - (e) Impédance d'entrée
  - (f) Slew Rate
2. Précisez à quoi correspond chacun de ces paramètres.
3. Rappelez la relation entre les entrées  $V^+$ ,  $V^-$  et la sortie  $V_S$  d'un ALI.
4. Tracez la caractéristique  $V_S = f(\varepsilon)$  où  $\varepsilon = (V^+ - V^-)$  pour cet ALI avec  $V_{CC} = 15V$ .
5. Est-ce un bon amplificateur ? Quelle est sa bande-passante ?

**Question 1**

- Tension d'alimentation (Supply Voltage) = 18V
- Tension d'entrée différentielle maximale = 30V

- Amplification différentielle -  $A_{VD} = 200 \text{ V/mV} = 2 \cdot 10^5$
- Gain unitaire ou produit gain-bande-passante -  $B_1 = 3 \text{ MHz}$
- Impédance d'entrée -  $r_i = 10^{12} \Omega = 10^6 \text{ M}\Omega = 1 \text{ T}\Omega$
- Slew Rate -  $SR = 13 \text{ V}/\mu\text{s}$

### Question 2

- Tension d'alimentation : les ALI sont des composants actifs, ils nécessitent une source d'énergie pour fonctionner. Ici il est nécessaire de réaliser une source de tension symétrique, c'est à dire une source positive  $+V_{CC}$  et une source négative  $-V_{CC}$ , où  $V_{CC} < 18 \text{ V}$
- Tension d'entrée différentielle maximale : c'est la différence de potentiel maximale admissible entre  $V^+$  et  $V^-$ . On appelle tension d'entrée différentielle  $\varepsilon = (V^+ - V^-)$
- Amplification différentielle : c'est l'amplification du composant, le lien entre la tension de sortie ( $V_S$ ) et la tension différentielle d'entrée ( $\varepsilon$ ).
- Gain unitaire ou produit gain-bande-passante : c'est une donnée essentielle qui permet de connaître la bande-passante du composant lorsque l'amplification du montage est de 1. Sur les montages amplificateurs (à base d'ALI), le produit amplification bande-passante est constant.
- Impédance d'entrée : c'est l'impédance vu par le montage en amont de l'ALI.
- Slew Rate : cette donnée caractérise la pente maximale que pourra avoir l'ALI en sortie.

### Question 3

$$V_S = A_{VD} \cdot (V^+ - V^-)$$

avec  $A_{VD} = 200 \text{ V/mV} = 2 \cdot 10^5$  (dans le cas du TL081).

### Question 4

Courbe avec saturation à  $\pm 15 \text{ V}$  (dans le cas d'une alimentation où  $V_{CC} = 15 \text{ V}$ ).

La saturation en sortie apparait pour une valeur de  $\varepsilon = V_{CC}/A_{VD}$ . Pour  $V_{CC} = 15 \text{ V}$ , on a  $\varepsilon_{MAX} = V_{CC}/A_{VD} = 75 \mu\text{V}$ .

### Question 5

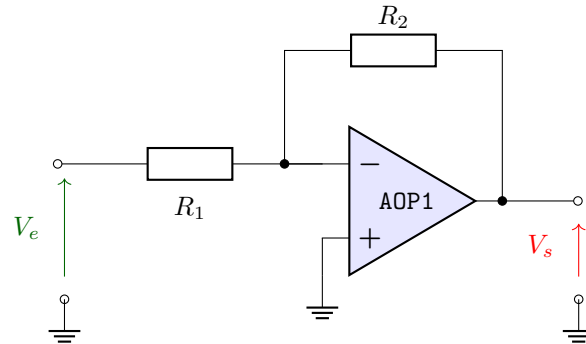
L'amplification différentielle est souvent supérieure à  $10^5$ , c'est donc un très bon amplificateur.

Cependant, il a un produit amplification/bande-passante ( $GBW$ ) qui est constant et « faible », ce qui le rend finalement peu efficace pour des fréquences élevées en boucle ouverte.

Par exemple, pour un  $GBW = 3 \text{ MHz}$  et une amplification différentielle  $A_{VD} = 2 \cdot 10^5$  (cas du TL081), on obtient une bande-passante en boucle ouverte (sans rebouclage)  $f_c = GBW/A_{VD} = 15 \text{ Hz}$ .

### Mission 1.4 - Amplificateur inverseur

On se propose d'étudier à présent le montage suivant :



1. Donnez la relation entre  $V_S$  et  $V_E$  du circuit précédent en utilisant la relation d'entrées-sortie de l'exercice 1.
2. Quelle hypothèse fait-on souvent lorsqu'on utilise des ALI avec une rétroaction négative ?
3. Quelle relation trouve-t-on alors entre  $V_S$  et  $V_E$  en partant de cette hypothèse ?
4. Cette hypothèse est-elle justifiée ?

#### Question 1

On calcule d'abord les potentiels  $V^+$  et  $V^-$  en entrée de l'ALI (théorème de Millman) :

$$V^- = \frac{\frac{V_S}{R_2} + \frac{V_E}{R_1}}{\frac{1}{R_2} + \frac{1}{R_1}} = \frac{V_S \cdot R_1}{R_1 + R_2} + \frac{V_E \cdot R_2}{R_1 + R_2}$$

$$V^+ = 0$$

De plus, on sait que  $V_S = A_{VD} \cdot (V^+ - V^-)$

On obtient alors :

$$V_S = -A_{VD} \cdot \frac{\frac{V_S}{R_2} + \frac{V_E}{R_1}}{\frac{1}{R_2} + \frac{1}{R_1}} = \frac{V_S \cdot R_1}{R_1 + R_2} + \frac{V_E \cdot R_2}{R_1 + R_2}$$

Ce qui donne :

$$T = \frac{V_S}{V_E} = -\frac{R_2}{R_1} \cdot \frac{A}{A + \frac{R_1 + R_2}{R_1}}$$

#### Question 2

$$V^+ = V^-$$

Lorsqu'on reboucle la sortie sur l'entrée négative sur un ALI, on change son régime de fonctionnement. Il s'agit d'un système bouclé (ou asservi). La sortie va chercher à suivre un signal de consigne appliqué sur l'entrée positive et ainsi l'erreur commise ( $V^+ - V^-$ ) va tendre vers 0.

#### Question 3

Les relations obtenues dans la question 1 pour  $V^+$  et  $V^-$  restent vraies. Ainsi :

$$V^- = \frac{\frac{V_S}{R_2} + \frac{V_E}{R_1}}{\frac{1}{R_2} + \frac{1}{R_1}} = \frac{V_S \cdot R_1}{R_1 + R_2} + \frac{V_E \cdot R_2}{R_1 + R_2}$$

$$V^+ = 0$$

De plus, en faisant l'hypothèse  $V^+ = V^-$ , on obtient :

$$T = \frac{V_S}{V_E} = -\frac{R_2}{R_1}$$

**Question 4**

On passe de l'expression obtenue à la question 1 à celle de la question 3 lorsqu'on suppose que  $A_{VD} \gg \frac{R_1 + R_2}{R_1}$ .

Il est fréquent de prendre des valeurs de résistances telles que  $R_2/R_1 \approx 10$ . Cette hypothèse est avérée dans le majorité des cas.

**Exemple**

On souhaite montrer ici l'erreur commise sur la valeur de l'amplification entre la formule complète (incluant l'amplification différentielle) et l'approximation faite en régime linéaire, en fonction de l'amplification  $R_2/R_1$  voulue pour le système.

Pour cela, on fixe  $A_{VD} = 15 \cdot 10^3$  la valeur minimale que l'on trouve dans la documentation technique du TL081 (par exemple) et on fait varier le rapport  $R_2/R_1$  de 2 à  $10^3$ .

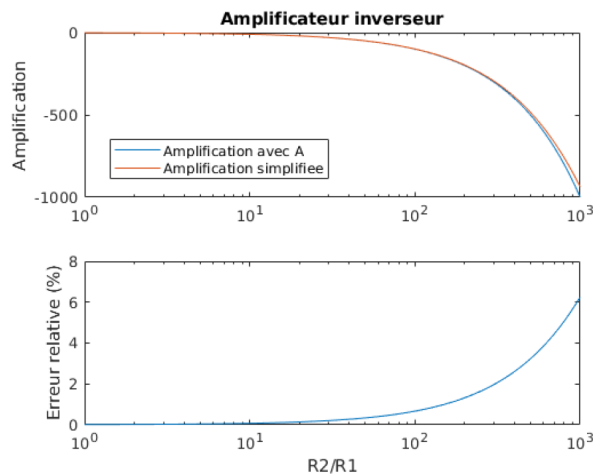
Il est possible de faire réaliser ce calcul par le script **Matlab** suivant :

```

1 R2 = logspace(0, 3, 101); R1 = 1; A = 15e3;
2 k = (R2 + R1) ./ R1;
3 m = -R2 ./ R1
4
5 T = m * A ./ (A + k);
6 erreur = (m - T) ./ m * 100;
7
8 figure;
9 subplot(2,1,1);
10 semilogx(R2./R1, -R2./R1, R2./R1, T);
11 legend('Amplification avec A', 'Amplification simplifiée');
12 title('Amplificateur inverseur');
13 ylabel('Amplification');
14
15 subplot(2,1,2);
16 semilogx(R2./R1, erreur);
17 ylabel('Erreur relative (\%)');
18 xlabel('R2/R1');

```

On obtient alors la figure suivante :



## TL08xx JFET-Input Operational Amplifiers

### 1 Features

- Low Power Consumption: 1.4 mA/ch Typical
- Wide Common-Mode and Differential Voltage Ranges
- Low Input Bias Current: 30 pA Typical
- Low Input Offset Current: 5 pA Typical
- Output Short-Circuit Protection
- Low Total Harmonic Distortion: 0.003% Typical
- High Input Impedance: JFET Input Stage
- Latch-Up-Free Operation
- High Slew Rate: 13 V/μs Typical
- Common-Mode Input Voltage Range Includes  $V_{CC+}$

### 2 Applications

- Tablets
- White goods
- Personal electronics
- Computers

### 3 Description

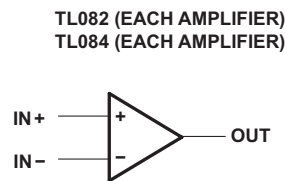
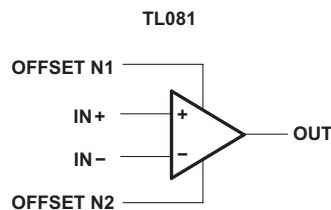
The TL08xx JFET-input operational amplifier family is designed to offer a wider selection than any previously developed operational amplifier family. Each of these JFET-input operational amplifiers incorporates well-matched, high-voltage JFET and bipolar transistors in a monolithic integrated circuit. The devices feature high slew rates, low input bias and offset currents, and low offset-voltage temperature coefficient.

#### Device Information<sup>(1)</sup>

PART NUMBER	PACKAGE	BODY SIZE (NOM)
TL084xD	SOIC (14)	8.65 mm × 3.91 mm
TL08xxFK	LCCC (20)	8.89 mm × 8.89 mm
TL084xJ	CDIP (14)	19.56 mm × 6.92 mm
TL084xN	PDIP (14)	19.3 mm × 6.35 mm
TL084xNS	SO (14)	10.3 mm × 5.3 mm
TL084xPW	TSSOP (14)	5.0 mm × 4.4 mm

(1) For all available packages, see the orderable addendum at the end of the data sheet.

#### Schematic Symbol



## 6 Specifications

### 6.1 Absolute Maximum Ratings

over operating free-air temperature range (unless otherwise noted)<sup>(1)</sup>

				MIN	MAX	UNIT
V <sub>CC+</sub>	Supply voltage <sup>(2)</sup>			18		V
V <sub>CC-</sub>				-18		
V <sub>ID</sub>	Differential input voltage <sup>(3)</sup>			±30		V
V <sub>I</sub>	Input voltage <sup>(2)(4)</sup>			±15		V
Duration of output short circuit <sup>(5)</sup>				Unlimited		
Continuous total power dissipation				See <a href="#">Dissipation Rating Table</a>		
T <sub>A</sub>	Operating free-air temperature	TL08_C TL08_AC TL08_BC		0	70	°C
		TL08_I		-40	85	
		TL084Q		-40	125	
		TL08_M		-55	125	
Operating virtual junction temperature				150		°C
T <sub>C</sub>	Case temperature for 60 seconds	FK package	TL08_M	260		°C
	Lead temperature 1,6 mm (1/16 inch) from case for 10 seconds	J or JG package	TL08_M	300		
T <sub>stg</sub>	Storage temperature			-65	150	°C

- (1) Stresses beyond those listed under *Absolute Maximum Ratings* may cause permanent damage to the device. These are stress ratings only, and functional operation of the device at these or any other conditions beyond those indicated under *Recommended Operating Conditions* is not implied. Exposure to absolute-maximum-rated conditions for extended periods may affect device reliability.
- (2) All voltage values, except differential voltages, are with respect to the midpoint between V<sub>CC+</sub> and V<sub>CC-</sub>.
- (3) Differential voltages are at IN+, with respect to IN-.
- (4) The magnitude of the input voltage must never exceed the magnitude of the supply voltage or 15 V, whichever is less.
- (5) The output may be shorted to ground or to either supply. Temperature and/or supply voltages must be limited to ensure that the dissipation rating is not exceeded.

### 6.2 ESD Ratings

			VALUE	UNIT
V <sub>(ESD)</sub>	Electrostatic discharge	Human body model (HBM), per ANSI/ESDA/JEDEC JS-001 <sup>(1)</sup>	1000	V
		Charged-device model (CDM), per JEDEC specification JESD22-C101 <sup>(2)</sup>	1500	

- (1) JEDEC document JEP155 states that 500-V HBM allows safe manufacturing with a standard ESD control process.
- (2) JEDEC document JEP157 states that 250-V CDM allows safe manufacturing with a standard ESD control process.

### 6.3 Recommended Operating Conditions

over operating free-air temperature range (unless otherwise noted)

				MIN	MAX	UNIT
V <sub>CC+</sub>	Supply voltage			5	15	V
V <sub>CC-</sub>	Supply voltage			-5	-15	V
V <sub>CM</sub>	Common-mode voltage			V <sub>CC-</sub> + 4	V <sub>CC+</sub> - 4	V
T <sub>A</sub>	Ambient temperature	TL08xM		-55	125	°C
		TL08xQ		-40	125	
		TL08xI		-40	85	
		TL08xC		0	70	



## Electrical Characteristics for TL08xC, TL08xxC, and TL08xl (continued)

 $V_{CC\pm} = \pm 15\text{ V}$  (unless otherwise noted)

PARAMETER	TEST CONDITIONS	$T_A^{(1)}$	TL081C, TL082C, TL084C			TL081AC, TL082AC, TL084AC			TL081BC, TL082BC, TL084BC			TL081I, TL082I, TL084I			UNIT
			MIN	TYP	MAX	MIN	TYP	MAX	MIN	TYP	MAX	MIN	TYP	MAX	
$I_{CC}$	Supply current (each amplifier)	$V_O = 0$ , No load	25°C	1.4	2.8	1.4	2.8	1.4	2.8	1.4	2.8	1.4	2.8	mA	
$V_{O1}/V_{O2}$	Crosstalk attenuation	$A_{VD} = 100$	25°C	120		120		120		120		120		dB	

## 6.6 Electrical Characteristics for TL08xM and TL084x

 $V_{CC\pm} = \pm 15\text{ V}$  (unless otherwise noted)

PARAMETER	TEST CONDITIONS <sup>(1)</sup>	$T_A$	TL081M, TL082M			TL084Q, TL084M			UNIT
			MIN	TYP	MAX	MIN	TYP	MAX	
$V_{IO}$	Input offset voltage	$V_O = 0$ , $R_S = 50\ \Omega$	25°C	3	6	3	9	mV	
			Full range			9	15		
$\alpha_{VIO}$	Temperature coefficient of input offset voltage	$V_O = 0$ , $R_S = 50\ \Omega$	Full range	18		18		$\mu\text{V}/^\circ\text{C}$	
$I_{IO}$	Input offset current <sup>(2)</sup>	$V_O = 0$	25°C	5	100	5	100	pA	
			125°C		20		20		
$I_{IB}$	Input bias current <sup>(2)</sup>	$V_O = 0$	25°C	30	200	30	200	pA	
			125°C		50		50		
$V_{ICR}$	Common-mode input voltage range	25°C	$\pm 11$	-12 to 15	$\pm 11$	-12 to 15	V		
$V_{OM}$	Maximum peak output voltage swing	$R_L = 10\ \text{k}\Omega$	25°C	$\pm 12$	$\pm 13.5$	$\pm 12$	$\pm 13.5$	V	
		$R_L \geq 10\ \text{k}\Omega$	Full range	$\pm 12$		$\pm 12$			
		$R_L \geq 2\ \text{k}\Omega$		$\pm 10$	$\pm 12$	$\pm 10$	$\pm 12$		
$A_{VD}$	Large-signal differential voltage amplification	$V_O = \pm 10\ \text{V}$ , $R_L \geq 2\ \text{k}\Omega$	25°C	25	200	25	200	V/mV	
			Full range	15		15			
$B_1$	Unity-gain bandwidth		25°C	3		3	MHz		
$r_i$	Input resistance		25°C	$10^{12}$		$10^{12}$	$\Omega$		
CMRR	Common-mode rejection ratio	$V_{IC} = V_{ICRmin}$ , $V_O = 0$ , $R_S = 50\ \Omega$	25°C	80	86	80	86	dB	
$k_{SVR}$	Supply-voltage rejection ratio ( $\Delta V_{CC\pm}/\Delta V_{IO}$ )	$V_{CC} = \pm 15\ \text{V}$ to $\pm 9\ \text{V}$ , $V_O = 0$ , $R_S = 50\ \Omega$	25°C	80	86	80	86	dB	
$I_{CC}$	Supply current (each amplifier)	$V_O = 0$ , No load	25°C	1.4	2.8	1.4	2.8	mA	
$V_{O1}/V_{O2}$	Crosstalk attenuation	$A_{VD} = 100$	25°C	120		120		dB	

(1) All characteristics are measured under open-loop conditions, with zero common-mode input voltage, unless otherwise specified.

(2) Input bias currents of a FET-input operational amplifier are normal junction reverse currents, which are temperature sensitive, as shown in Figure 13. Pulse techniques must be used that maintain the junction temperatures as close to the ambient temperature as possible.

## 6.7 Operating Characteristics

 $V_{CC\pm} = \pm 15\ \text{V}$ ,  $T_A = 25^\circ\text{C}$  (unless otherwise noted)

PARAMETER	TEST CONDITIONS	MIN	TYP	MAX	UNIT
SR	$V_I = 10\ \text{V}$ , $R_L = 2\ \text{k}\Omega$ , $C_L = 100\ \text{pF}$ , See Figure 19	8 <sup>(1)</sup>	13		V/ $\mu\text{s}$
	$V_I = 10\ \text{V}$ , $R_L = 2\ \text{k}\Omega$ , $C_L = 100\ \text{pF}$ , $T_A = -55^\circ\text{C}$ to $125^\circ\text{C}$ , See Figure 19	5 <sup>(1)</sup>			

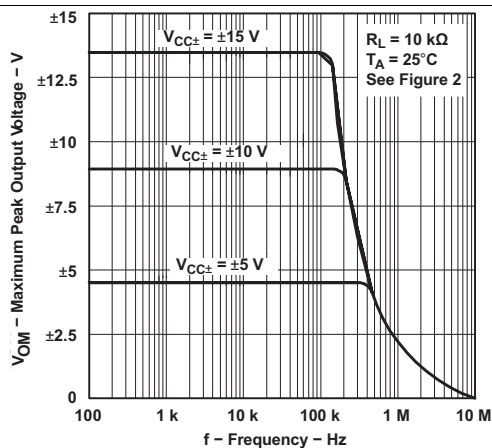
(1) On products compliant to MIL-PRF-38535, this parameter is not production tested.

### 6.9 Typical Characteristics

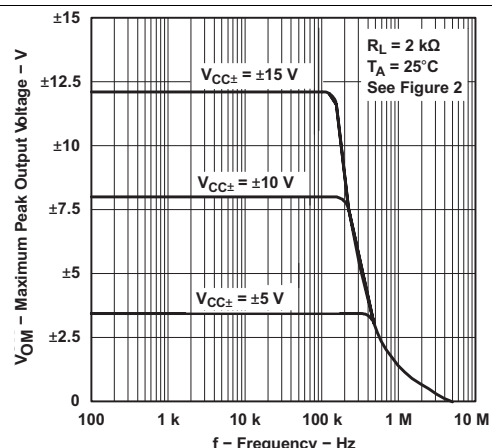
Data at high and low temperatures are applicable only within the rated operating free-air temperature ranges of the various devices. The Figure numbers referenced in the following graphs are located in [Parameter Measurement Information](#).

**Table 1. Table of Graphs**

			Figure
$V_{OM}$	Maximum peak output voltage	versus Frequency versus Free-air temperature versus Load resistance versus Supply voltage	Figure 1, Figure 2, Figure 3 Figure 4 Figure 5 Figure 6
$A_{VD}$	Large-signal differential voltage amplification	versus Free-air temperature versus Load resistance	Figure 7 Figure 8
	Differential voltage amplification	versus Frequency with feed-forward compensation	Figure 9
$P_D$	Total power dissipation	versus Free-air temperature	Figure 10
$I_{CC}$	Supply current	versus Free-air temperature	Figure 11
		versus Supply voltage	Figure 12
$I_{IB}$	Input bias current	versus Free-air temperature	Figure 13
	Large-signal pulse response	versus Time	Figure 14
$V_O$	Output voltage	versus Elapsed time	Figure 15
CMRR	Common-mode rejection ratio	versus Free-air temperature	Figure 16
$V_n$	Equivalent input noise voltage	versus Frequency	Figure 17
THD	Total harmonic distortion	versus Frequency	Figure 18



**Figure 1. Maximum Peak Output Voltage vs Frequency**



**Figure 2. Maximum Peak Output Voltage vs Frequency**